

## شناسایی گونه‌های درختی با استفاده از سری زمانی تصاویر رنگی واقعی و تصاویر چندطیفی پهپاد

\*مدد میرکی<sup>۱</sup> و هرمز شهرابی<sup>۲</sup>

- (۱) دانش آموخته دکتری رشته مدیریت جنگل، گروه جنگلداری، دانشکده منابع طبیعی و علوم دریایی، دانشگاه تربیت مدرس، تهران، ایران.  
(۲) دانشیار گروه جنگلداری، دانشکده منابع طبیعی و علوم دریایی، دانشگاه تربیت مدرس، تهران، ایران.

\*رایانامه نویسنده مسئول مکاتبات: hsohrabi@modares.ac.ir

تاریخ پذیرش: ۱۴۰۲/۰۹/۱۵

تاریخ دریافت: ۱۴۰۲/۰۷/۰۶

### چکیده

اطلاعات دقیق درباره ترکیب درختان یک جنگل برای بسیاری از اهداف نظارتی و حفاظت جنگل مورد نیاز است. در سال‌های اخیر استفاده از روش‌های مدرن سنجش از دور و تکنیک‌های مبتنی بر وسائل نقلیه بدون سرنشین، برای به روزرسانی منظم اطلاعات در جنگل استفاده می‌شود. در این تحقیق، از داده‌های متفاوت شامل تصاویر چند طیفی (پهپاد استروم) و تصاویر رنگی واقعی (پهپاد فانتوم) با توان تکیک مکانی بسیار بالا در بخش جلگه‌ای جنگل‌های شهرستان نور در استان مازندران جهت شناسایی گونه‌های درختی استفاده شد. همچنین تصویربرداری در یک فصل رویشی با هدف تهیه سری زمانی تصاویر پهپاد و بررسی تاثیر تغییرات فنولوژیک تاج درختان بر مقدار صحت طبقه‌بندی انجام شد. جهت طبقه‌بندی و شناسایی گونه‌های جنگل از محاسبه شاخص‌های مبتنی بر تصاویر رنگی واقعی مانند NRB و NGB، شاخص‌های چندطیفی مانند Clgreen و NDVI، باندهای خام و روش طبقه‌بندی جنگل تصادفی استفاده شد. بر اساس تصاویر تک‌زمانه، تصاویر اواخر فروردین ماه با صحت کلی ۷۵ درصد بیشترین صحت کلی را ارایه داد. نتایج مربوط به تصاویر سری زمانی نیز با صحت ۸۵ درصد شناسایی درختان را انجام داد. همچنین شناسایی گونه‌ها بر اساس تصاویر چندطیفی اخذ شده از سنجنده سکویا، صحت ۸۵ درصد را ارایه داد. نتایج نشان داد تصویر تک‌زمانه با تصویربرداری در زمان مناسب با استفاده از پهپاد مجهز به سنجنده RGB، نسبت به تهیه سری زمانی و استفاده از پهپادهای مجهز به سنجنده‌های چندطیفی، نتایج قابل قبول و کم‌هزینه‌تری برای شناسایی درختان در جنگل مورد مطالعه ارایه می‌کند.

**واژه‌های کلیدی:** الگوریتم جنگل تصادفی، سنجنده چند طیفی، طبقه‌بندی، فنولوژی.

مقدمه  
Boyd & Danson, 2005)

ماهواره‌های پایش زمین قادر به ارایه اطلاعات در مقیاس مکانی کوچک در سطح توده نبوده‌اند، همچنین از نظر قدرت تفکیک زمانی محدود بوده و در معرض تداخل ناشی از پوشش ابر بوده و هستند (Asner, 2001). اما وسائل نقلیه هوایی بدون سرنشین<sup>۱</sup> (UAV) یا پهپادها با انواع متنوع بال ثابت و چند موتوره، سکوها بی هستند که می‌توانند انواع سنجنده‌های رنگی واقعی، چندطیفی و لایdar<sup>۲</sup> را با تنظیم فاصله مکانی و زمانی با ارتفاع پایین از سطح زمین برای نظارت و نقشه‌برداری از محیط و منابع طبیعی حمل کنند (Nex & Remondino, 2014).

اطلاع از ترکیب گونه‌های درختی در یک جنگل می‌تواند اطلاعات با ارزشی را در مورد وضعیت محیطی زیستی جنگل و ارزش اقتصادی آن در اختیار کارشناسان قرار دهد (Ferreira et al., 2018). چرا که اطلاعات مربوط به شناخت و طبقه‌بندی گونه‌های درختی می‌تواند در ارزیابی تنوع‌زیستی، آماربرداری، ارزیابی خطر آتش‌سوزی، بوم‌شناسی حیوانات و تشخیص گونه‌های مهاجم در جنگل‌ها مورد استفاده قرار گیرد (Kuzmin et al., 2017; Nevalainen et al., 2017).

سنجش از دور برای دهه‌ها یک روش مکمل در آماربرداری برای برآورد ویژگی‌های درختان در جنگلداری بوده است

<sup>1</sup> Unmanned Aerial Vehicles

<sup>2</sup> LiDAR

Miraki و همکاران (۲۰۲۲) تاثیر الگوریتم‌های متفاوت عملکرد الگوریتم‌های ناپارامتری ماشین‌بردار پشتیبان، جنگل تصادفی و شبکه عصبی مصنوعی و الگوریتم پارامتری تحلیل تشخیص خطی را بر صحت شناسایی درختان پهنه‌برگ در جنگل‌های شهرستان نور با استفاده از تصویر تکزمانه رنگی واقعی مورد بررسی قرار دادند. نتایج نشان داد اگرچه الگوریتم پارامتری تحلیل تشخیص خطی با صحت کلی ۸۷٪ بهترین نتیجه را برای طبقه‌بندی درختان ارایه داد، اما تفاوت معنی‌داری بین نتایج استفاده از الگوریتم‌های مختلف وجود نداشت.

با توجه به سابقه تحقیق، شناسایی درختان با استفاده از تصاویر پهپاد در جنگل‌های جلگه‌ای هیرکانی با استفاده از تصاویر چندطیفی و سری زمانی تصاویر به دست آمده از پهپاد تاکنون مورد بررسی قرار نگرفته است. در واقع، پارک جنگلی نور بزرگ‌ترین لکه باقی‌مانده از جنگل‌های جلگه‌ای با مساحت ۳۶۸۲ هکتار در حوزه آبخیز شماره ۴۹ و در شهرستان نور واقع است که با توجه به لزوم حفاظت و جمع‌آوری اطلاعات دقیق از جمله تعیین ترکیب گونه‌ای درختان برای برنامه‌ریزی و مدیریت این جنگل‌ها، منطقه مورد مطالعه واقع در پارک جنگلی نور به عنوان نمونه انتخاب شد تا با جمع‌آوری یک سری زمانی از تصاویر پهپاد رنگی برای پوشش کامل فصل رشد، بهترین زمان برای شناسایی و تمایز درختان با استفاده از یک پنجره زمانی و با کمترین هزینه تعیین شود و علاوه بر این، دو سیستم تصویربرداری مجهز به سنجنده رنگی واقعی و چندطیفی با هم مقایسه شوند.

## مواد و روش‌ها

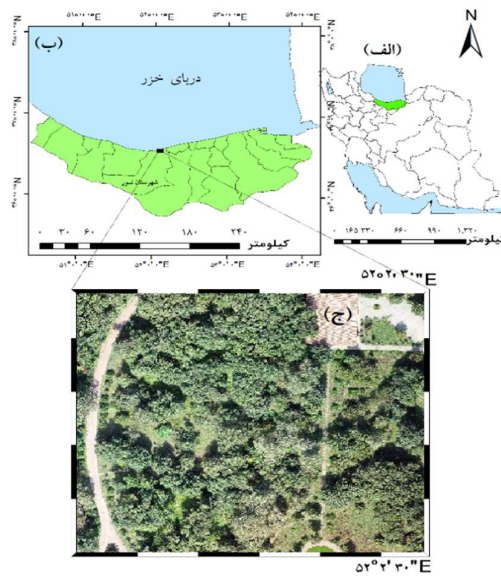
### منطقه مورد مطالعه

منطقه مورد مطالعه در پارک جنگلی نور با مساحت تقریبی ۵ هکتار به مرکز عرض جغرافیایی "۴۵° ۳۶' ۴۵" و طول جغرافیایی "۲۱° ۵۲' ۵۲" شرقی در ۵ کیلومتری جنوب‌شرق شهرستان نور در استان مازندران واقع شده است. منطقه تقریباً مسطح (حداکثر شیب ۵ درصد) و متوسط ارتفاع از سطح دریا ۲۰- متر است. با توجه به طبقه‌بندی اقلیمی به روش آمیرزه، پارک جنگلی نور جز مناطق خیلی مرتکب با زمستان‌های ملایم می‌باشد. پوشش غالب منطقه درختان پهنه‌برگ خزان‌کننده شامل بلوط بلندمازو، انگلی، سفیدپلت، اوچا، توسکا و مرز است. منطقه مورد مطالعه در شکل (۱) نمایش داده شده است.

با ادغام داده‌های سنجش از دور در آماربرداری جنگل، مدت‌ها است که شناسایی پایه‌های درختی به دلیل اهمیت تعیین ترکیب با استفاده از سنجش از دور، مورد توجه قرار گرفته است (Hernandez-Santin *et al.*, 2019). در همین راستا، Nevalainen و همکاران (۲۰۱۷) عملکرد تصاویر فراتیفی و فتوگرامتری پهپاد را در آشکارسازی پایه‌های درختی با استفاده از الگوریتم بیشینه محلی و طبقه‌بندی گونه‌های کاج، نوئل، لا ریکس و تووس در جنگل‌های بورال فنلاند مورد مطالعه قرار دادند. نتایج دقت شناسایی درختان از ابر نقطه فتوگرامتری از ۹۵ تا ۴۰ درصد، بسته به ویژگی‌های منطقه متغیر بود.

همچنین Hernandez-Santin و همکاران (۲۰۱۹) بیان داشتند از آنجایی که فنولوژی گونه‌های مختلف متفاوت هستند، بهتر است برای تشخیص گونه‌ها در زمان اخذ تصاویر چرخه فنولوژی آنها نیز مورد بررسی قرار گیرد. در همین زمینه Lisein و همکاران (۲۰۱۵) نیز در جنگل‌های آمیخته ناهمسال بلژیک به منظور تمایز گونه‌های درختی خزان‌کننده و تعیین بهترین زمان برای دستیابی به تمایز گونه‌ای مطلوب، از یک سری زمانی تصاویر پهپاد با وضوح بالا برای پوشش دوره رشد از بهار تا پاییز استفاده کردند. Weil و همکاران (۲۰۱۷) نیز با استفاده از رویکرد فنولوژیک، ساخته‌های طیفی و تبدیل فضای رنگی، گونه‌های گیاهی را طبقه‌بندی نمودند. نتایج این تحقیق نشان داد استفاده از این روش و سری‌های زمانی به دست آمده از پهپاد فتوگرامتری قابل مقایسه با تصاویر فراتیفی با اندازه تفکیک مکانی بالا و هزینه زیاد است.

در داخل کشور نیز بخشی از توده‌های بنه - بادام جنگل تحقیقاتی استان فارس با مساحت ۲۴ هکتار با استفاده از تصاویر رنگی واقعی و DSM<sup>1</sup> جهت شناسایی درختان توسط Esmkhani و همکاران (۲۰۲۲) مورد استفاده قرار گرفت. در این تحقیق تصاویر رنگی به تنها ی و نیز تلفیق آنها با DSM در شناسایی درختان بنه و درختچه‌های بادام مورد مقایسه قرار گرفتند. نتایج نشان داد علی‌رغم نزدیکی ارزش عددی معیارهای صحبت‌سنگی (صحبت ۷۷ درصد در صورت استفاده از تصاویر و صحبت ۸۵ درصد با رویکرد تلفیق تصاویر رنگی و DSM)، شناسایی گونه‌ها با استفاده از تلفیق تصاویر رنگی و پهپاد از صحبت بیشتری برخوردار بودند. همچنین



شکل ۱. موقعیت منطقه مورد مطالعه در ایران (الف)، استان مازندران (ب)، منطقه مورد مطالعه در جنگل نور (ج).

### آماربرداری زمینی

جمع‌آوری داده‌های زمینی برای شناسایی درختان برای درختان اشکوب فرقانی که در موزاییک تصویر قابل مشاهده بودند، در خرداد ماه ۱۳۹۸ انجام شد. در طول برداشت زمینی نوع گونه و موقعیت درختان ثبت شد. بهدلیل محدودیت دریافت سیگنال در زیر تاج درختان توسط گیرنده‌های سامانه موقعیت‌یاب جهانی، موقعیت هر درخت با روش آزمیوت-فاسله ثبت شد. در مجموع ۲۰۹ درخت در منطقه مورد مطالعه به تفکیک ۳۷ درخت انگلی، ۳۳ درخت سفیدپلت، ۴۸ درخت بلوط بلندمازو و ۹۱ درخت اوجا جهت تهیه واقعیت زمینی، مورد آماربرداری قرار گرفت (درختان از گل، زالزالک و پرتقال که در موزاییک تصویر قابل مشاهده بودند، در این بخش مورد مطالعه قرار نگرفتند).

**تصویربرداری و پردازش تصاویر**  
پرنده Phantom 4 pro با ویژگی‌هایی مانند سنجنده CMOS با پسخ ۲۰ مگاپیکسل ( $5472 \times 3648$ ) با قابلیت استفاده در کارهای مطالعاتی و برآورد ویژگی‌های تاج پوشش، نقشه‌برداری از منابع جنگلی و تنوع زیستی، برنامه‌ریزی مدیریت پایدار جنگل و نظارت و مدیریت بر آتش‌سوزی‌ها (Tiberiu *et al.*, 2016; Tinkham & Swayze, 2021) برای ثبت تصاویر رنگی واقعی مورد استفاده قرار گرفت. همچنین پرنده Storm 2 با قابلیت پرواز در شرایط باد تا سرعت ۴۰ کیلومتر بر ساعت با قابلیت نصب سنجنده سکویا پاروت به عنوان یک سنجنده توانمند چند طیفی (دریافت ۴ باند قرمز، سبز، آبی و مادون قرمز نزدیک) با وزن ۱۳۵ گرم،<sup>۱</sup> ۱۳ سانتی‌متر، خروجی عکس رنگی ۱۶ مگاپیکسل و سرعت یک شات در ثانیه برای ثبت تصاویر چندطیفی مورد استفاده قرار گرفت (شکل ۲).

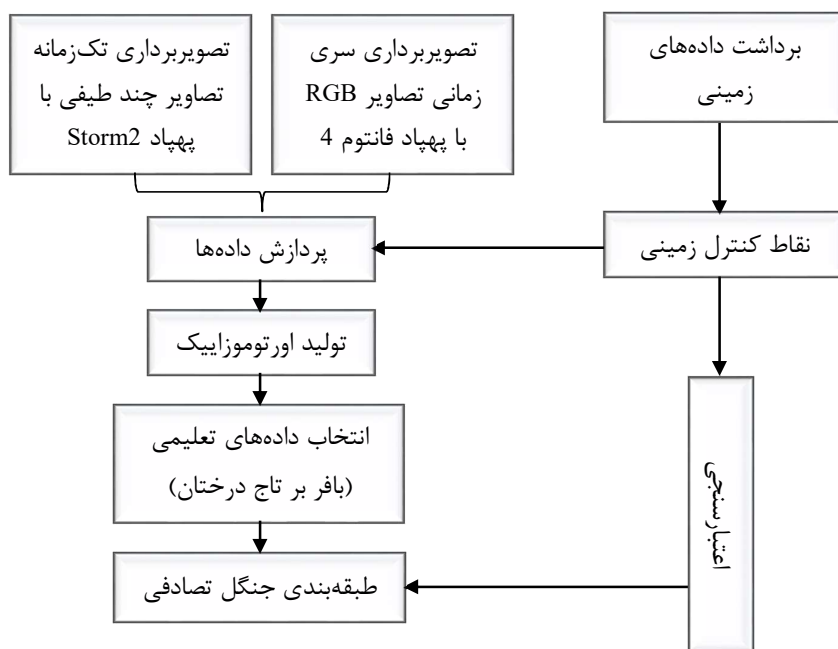
<sup>1</sup> Ground Sample Distance (GSD)



شکل ۲. پهپاد Storm 4 pro (راست) و پهپاد ۲ (چپ)

مساحت منطقه مورد مطالعه، تصویربرداری در هر تاریخ فقط با یک برداشت و به مدت ۱۵ دقیقه انجام شد. تمامی تصاویر به دست آمده از فرآیند پرواز به صورت تک به تک مورد ارزیابی چشمی قرار گرفت و تصاویری که از کیفیت مناسب برخوردار نبودند از مراحل بعدی پردازش تصاویر حذف شدند (Brovkina *et al.*, 2018). تصاویر باقیمانده در نرم افزارهای Agisoft metashape و Pix4Dmapper بازخوانی و پردازش شدند. هدف از پردازش تصاویر پهپاد تهیه موzaïk تصویر جهت شناسایی درختان بود. شناسایی گونه های مختلف درختان با استفاده از داده های رنگی واقعی (RGB) و چندطیفی در منطقه مورد مطالعه انجام شد. نمودار روند اجرای تحقیق در شکل (۳) نشان داده شده است.

در این مطالعه قبل از اجرای هر پروژه برداشت تصاویر، مسیر پرواز و نقاط کنترل زمینی<sup>۱</sup> مشخص گردید. به منظور ارتقا دقیقت هندسی نقشه های نهایی به دست آمده از تصاویر پهپاد از ۱۱ نقطه کنترل، قابل دید از بالای تاج پوشش، برای زمین مرجع کردن تصاویر در داخل منطقه مورد مطالعه استفاده شد. مختصات هر کدام از نقاط کنترل با استفاده از GPS-RTK مدل Gintec G10 برداشت شد. سپس برداشت تصاویر در شرایط یکسان تابش عمود نور آفتاب (ظهر) و نبود وزش باد در ارتفاع پرواز ۱۰۰ متر با همپوشانی طولی ۸۰ درصد و همپوشانی عرضی ۶۰ درصد صورت گرفت. تنظیمات مربوطه در هر تصویربرداری یکسان در نظر گرفته شد. با توجه به



شکل ۳. فلوچارت تحقیق

## شناسایی گونه‌های درختی با استفاده از سری زمانی تصاویر رنگی واقعی و تصاویر چندطیفی بهباد/۵

دی ماه ۱۳۹۹ در شرایط آفتابی و بدون وزش باد انجام شد

(شکل ۴).

شناسایی درختان با استفاده از تصاویر رنگی واقعی

تصویربرداری با هدف شناسایی درختان در ۱۰ برداشت

متفاوت در ارتفاع پرواز ۱۰۰ متر در بازه زمانی اسفند ۱۳۹۸ تا



شکل ۴. تصاویر زمانی از منطقه مورد مطالعه

مجموعه داده‌های آموزشی به طور تصادفی به ۱۰ زیرنمونه با مقدار یکسان تفکیک شدند. در هر مرحله از فرآیند، تعداد K-1 از این مجموعه‌ها به عنوان داده آموزشی و یک مجموعه به عنوان داده اعتبارسنجی در نظر گرفته شد. برای دستیابی به مدل با صحت مناسب، این فرآیند ۱۰ بار تکرار شد (Nevalainen et al., 2017). سپس از معیارهای صحت تولید کننده<sup>۱</sup>، صحت کاربر<sup>۲</sup>، صحت کلی<sup>۳</sup> و ضریب کاپا برای ارزیابی روش طبقه-بندي جنگل تصادفی استفاده شد.

### شناسایی درختان با استفاده از تصاویر چندطیفی

تصویربرداری با استفاده از پرنده استورم ۲ مجهز به سنجنده سکویا پاروت در ۲۴ خرداد ماه انجام شد. پس از تصویربرداری و تهیه موzaïk تصاویر در نرم‌افزار Pix4D، شناسایی درختان مطابق مراحل فوق انجام گردید. شاخص‌های رنگی واقعی برای هر دو سنجنده یکسان در نظر گرفته شد. لیست شاخص‌های مورد استفاده برای طبقه‌بندی در جدول (۱) ارایه شد.

بعد از پردازش تصاویر پهپاد و ایجاد موzaïk تصویر، نسبت‌گیری‌های باندی و شاخص‌های پوشش گیاهی (جدول ۱) در نرم‌افزار Arcmap 10.8 تهیه شدند. محدوده میانی تاج هر تک‌پایه از درختان با استفاده از یک بافر یک متری ترسیم و آماره‌هایی مانند میانگین، میانه، مد، دامنه و انحراف معیار برای هر درخت بر روی باندهای اصلی، نسبت‌های باندی و شاخص‌های گیاهی محاسبه شدند. سپس طبقه‌بندی گونه‌های درختی با استفاده از الگوریتم جنگل تصادفی در محیط نرم‌افزار R (3.6.0) انجام گردید. پیش‌فرض تعداد درخت تصمیم ۵۰۰ بود که با آزمون و خطاب‌الاترین عملکرد با ۱۰۰ درخت تصمیم به دست آمد. همچنین کلیه درختان برداشت شده به عنوان داده آموزشی در نظر گرفته شدند. الگوریتم جنگل تصادفی در پکیج randomForest انجام شد. برای ارزیابی صحت نتایج الگوریتم‌های مذکور از روش اعتبارسنجی K-fold استفاده شد. به این صورت که مقدار K برابر ۱۰ در نظر گرفته شد و

1 Producer's accuracy

2 User's accuracy

3 Overall accuracy

جدول ۱. شاخص‌ها و باندهای استفاده شده برای طبقه‌بندی درختان

فرمول	باندها و شاخص‌ها	
-	Red	
-	Blue	
-	Green	
G/R	GR	RGB
R/B	RB	Multi Spectral
(G-B)/(G+B)	NGB	
(R-B)/(R+B)	NRB	
(NIR-R)/(NIR+R)	NDVI	
NIR-Green-1	CIgreen	
-	NIR	
-	Red-Edge	

استفاده از الگوریتم جنگل تصادفی مورد بررسی قرار گرفت. نتایج جدول (۲) نشان داد تصاویر اواخر فروردین ماه با صحت کلی ۷۵ درصد و ضریب کاپای ۰/۵۸ بیشترین مقدار صحت را ارایه دادند.

نتایج  
نتیجه شناسایی درختان با استفاده از تصاویر رنگی  
واقعی

شناسایی درختان در این مطالعه ابتدا با تصاویر تک زمانه با

جدول ۲. ماتریس خطای طبقه‌بندی تصاویر تک زمانه با استفاده از الگوریتم جنگل تصادفی\*

تاریخ	گونه	انجیلی	سفیدپلت	بلوط	اوچا	مجموع	صحت کاربر	مجموع
۱۳۹۸/۱/۱۰	انجیلی	۱۶		۳	۱۰	۲۳	۰/۴۸	۳۳
۱۳۹۸/۱/۱۰	سفیدپلت	۰	۱۰	۵	۱۰	۲۵	۰/۴۰	۲۵
۱۳۹۸/۱/۱۰	بلوط	۱	۲	۱۵	۱۵	۵۸	۰/۲۶	۵۸
۱۳۹۸/۱/۱۰	اوچا	۳۴	۲۵	۵۹	۱۹۳	۲۱۱	۰/۶۲	۲۱۱
۱۳۹۸/۱/۱۰	مجموع	۵۱	۴۰	۸۳	۲۲۸	۲۲۸	=کاپا=۰/۲۱	=کاپا=۰/۴۴
۱۳۹۸/۱/۱۱	انجیلی	۲۰	۲	۳	۱۸	۴۳	۰/۴۷	۴۳
۱۳۹۸/۱/۱۱	سفیدپلت	۱	۱۱	۱	۷	۲۰	۰/۵۵	۲۰
۱۳۹۸/۱/۱۱	بلوط	۴	۱	۲۱	۱۴	۶۳	۰/۲۳	۶۳
۱۳۹۸/۱/۱۱	اوچا	۲۶	۲۶	۵۸	۱۸۹	۲۹۹	۰/۶۳	۲۹۹
۱۳۹۸/۱/۱۱	مجموع	۵۱	۴۰	۸۳	۲۲۸	۲۲۸	=کاپا=۰/۲۶	=کاپا=۰/۵۰
۱۳۹۸/۱/۱۲	انجیلی	۱۳	۱	۸	۱۱	۳۳	۰/۳۹	۳۳
۱۳۹۸/۱/۱۲	سفیدپلت	۱	۹	۲	۵	۱۷	۰/۰۳	۱۷
۱۳۹۸/۱/۱۲	بلوط	۹	۸	۳۴	۱۴	۵۰	۰/۶۸	۵۰
۱۳۹۸/۱/۱۲	اوچا	۲۷	۲۲	۳۹	۱۹۸	۲۸۶	۰/۶۹	۲۸۶
۱۳۹۸/۱/۱۲	مجموع	۵۱	۴۰	۸۳	۲۲۸	۲۲۸	=کاپا=۰/۳۳	=کاپا=۰/۵۷
۱۳۹۸/۱/۱۲	صحت تولید کننده	۰/۳۹	۰/۲۸	۰/۲۵	۰/۱۸	۰/۸۳	=کاپا=۰/۲۱	=کاپا=۰/۴۷
۱۳۹۸/۱/۱۳	انجیلی	۱۶	۴	۴	۱۰	۳۳	۰/۳۹	۳۳
۱۳۹۸/۱/۱۳	سفیدپلت	۲	۷	۲	۴	۱۷	۰/۰۳	۱۷
۱۳۹۸/۱/۱۳	بلوط	۹	۱	۴۵	۲۱	۵۰	۰/۶۸	۵۰
۱۳۹۸/۱/۱۳	اوچا	۲۴	۲۸	۳۲	۱۹۳	۲۸۶	۰/۶۹	۲۸۶
۱۳۹۸/۱/۱۳	مجموع	۵۱	۴۰	۸۳	۲۲۸	۲۲۸	=کاپا=۰/۳۷	=کاپا=۰/۶۴
۱۳۹۸/۱/۱۳	صحت تولید کننده	۰/۲۵	۰/۲۳	۰/۴۱	۰/۸۷	۰/۸۷	=کاپا=۰/۳۳	=کاپا=۰/۳۹
۱۳۹۸/۱/۱۴	انجیلی	۱۶	۴	۴	۱۰	۳۳	۰/۰۳	۳۳
۱۳۹۸/۱/۱۴	سفیدپلت	۲	۷	۲	۴	۱۷	۰/۰۳	۱۷
۱۳۹۸/۱/۱۴	بلوط	۹	۱	۴۵	۲۱	۵۰	۰/۶۸	۵۰
۱۳۹۸/۱/۱۴	اوچا	۲۴	۲۸	۳۲	۱۹۳	۲۸۶	۰/۶۹	۲۸۶
۱۳۹۸/۱/۱۴	مجموع	۵۱	۴۰	۸۳	۲۲۸	۲۲۸	=کاپا=۰/۳۷	=کاپا=۰/۶۴
۱۳۹۸/۱/۱۴	صحت تولید کننده	۰/۲۵	۰/۲۳	۰/۴۱	۰/۸۵	۰/۸۵	=کاپا=۰/۳۷	=کاپا=۰/۳۹
۱۳۹۸/۱/۱۵	انجیلی	۲۲	۰	۶	۵	۳۳	۰/۶۷	۳۳
۱۳۹۸/۱/۱۵	سفیدپلت	۱	۲۹	۱	۴	۳۵	۰/۰۳	۳۵
۱۳۹۸/۱/۱۵	بلوط	۳	۰	۵۱	۱۸	۶۸	۰/۷۵	۶۸
۱۳۹۸/۱/۱۵	اوچا	۲۵	۱۱	۲۵	۲۰۱	۲۶۲	۰/۷۷	۲۶۲
۱۳۹۸/۱/۱۵	مجموع	۵۱	۴۰	۸۳	۲۲۸	۲۲۸	=کاپا=۰/۷۵	=کاپا=۰/۵۸
۱۳۹۸/۱/۱۵	صحت تولید کننده	۰/۴۳	۰/۷۳	۰/۶۱	۰/۸۸	۰/۸۸	=کاپا=۰/۵۸	=کاپا=۰/۶۷

## شناسایی گونه‌های درختی با استفاده از سری زمانی تصاویر رنگی واقعی و تصاویر چندطیفی یهیاد ۷

۰/۵۷	۳۷	۱۳	۲	۱	۲۱	انجیلی		
۰/۸۵	۲۶	۲	۱	۲۲	۱	سفیدپلت		
۰/۷۲	۶۳	۱۸	۶۵	۴	۳	بلوط		
۰/۷۸	۲۴۹	۱۹۵	۱۵	۱۳	۲۶	اوچا		
=٪۷۳ صحت کلی			۲۲۸	۸۳	۴۰	۵۱	مجموع	
=٪۵۷ کاپا			۰/۸۶	۰/۷۸	۰/۵۵	۰/۴۱	صحت تولیدکننده	
۰/۵۴	۲۴	۷	۴	۰	۱۳	انجیلی		
۰/۶۵	۲۳	۶	۱	۱۵	۱	سفیدپلت		
۰/۳۸	۴۷	۱۷	۱۸	۱	۶	بلوط		
۰/۶۳	۳۱۳	۱۹۸	۶۰	۲۴	۳۱	اوچا		
=٪۵۵ صحت کلی			۲۲۸	۸۳	۴۰	۵۱	مجموع	
=٪۲۵ کاپا			۰/۸۷	۰/۲۲	۰/۳۸	۰/۲۵	صحت تولیدکننده	
۰/۴۴	۲۷	۸	۶	۱	۱۲	انجیلی		
۰/۴۲	۱۹	۷	۳	۸	۱	سفیدپلت		
۰/۲۶	۴۶	۲۱	۱۲	۲	۱۱	بلوط		
۰/۶۲	۳۱۰	۱۹۲	۶۲	۲۹	۲۷	اوچا		
=٪۴۴ صحت کلی			۲۲۸	۸۳	۴۰	۵۱	مجموع	
=٪۲۹ کاپا			۰/۸۴	۰/۱۴	۰/۲۰	۰/۲۴	صحت تولیدکننده	
۰/۶۳	۳۵	۱۱	۲	۰	۲۲	انجیلی		
۰/۷۱	۲۴	۴	۳	۱۷	۰	سفیدپلت		
۰/۴۷	۵۹	۱۶	۲۸	۳	۳	بلوط		
۰/۶۷	۲۹۳	۱۹۷	۵۰	۲۰	۲۶	اوچا		
=٪۶۲ صحت کلی			۲۲۸	۸۳	۴۰	۵۱	مجموع	
=٪۳۷ کاپا			۰/۸۶	۰/۳۴	۰/۴۳	۰/۴۳	صحت تولیدکننده	
۰/۷۶	۳۴	۵	۲	۱	۲۶	انجیلی		
۰/۷۱	۳۴	۷	۳	۲۴	۰	سفیدپلت		
۰/۳۸	۶۸	۱۴	۲۶	۵	۴	بلوط		
۰/۷۱	۲۸۵	۲۰۲	۵۲	۱۰	۲۱	اوچا		
=٪۶۴ صحت کلی			۲۲۸	۸۳	۴۰	۵۱	مجموع	
=٪۴۴ کاپا			۰/۸۹	۰/۳۱	۰/۶۰	۰/۵۱	صحت تولیدکننده	
۰/۴۲	۲۴	۱۰	۴	۰	۱۰	انجیلی		
۰/۷۱	۲۸	۱	۷	۲۰	۰	سفیدپلت		
۰/۸۳	۵۲	۱۷	۴۳	۹	۱۰	بلوط		
۰/۷۴	۲۷۱	۲۰۰	۲۹	۱۱	۳۱	اوچا		
=٪۶۷ صحت کلی			۲۲۸	۸۳	۴۰	۵۱	مجموع	
=٪۴۴ کاپا			۰/۸۸	۰/۵۲	۰/۵۰	۰/۲۰	صحت تولیدکننده	

\* محور عمودی واقعیت زمینی و محور افقی طبقه‌بندی را نشان می‌دهد.

به عنوان انجیلی یا بلوط شناسایی نشدند، درحالی که ۱۰ پایه به اشتباہ درخت اوچا شناسایی شدند. بیشترین مقدار صحت کاربر مریبوط به درخت سفیدپلت و بیشترین مقدار صحت تولیدکننده برای درختان اوچا به ترتیب با مقادیر صحت ۹۱ و ۹۲ درصد به دست آمد.

نتایج مریبوط به سری زمانی اخذ شده از تصاویر رنگی واقعی پهپاد نشان داد که صحت کلی تا مقدار ۸۶ درصد ارتقاء پیدا کرده است.

چنانچه در جدول (۳) قابل مشاهده است درختان انجیلی، سفیدپلت و بلوط به اشتباہ به عنوان درخت اوچا شناسایی شده‌اند. برای ۴۰ پایه درخت سفیدپلت، هیچ درختی به اشتباہ

جدول ۳. ماتریس خطای سری زمانی تصاویر رنگی واقعی با استفاده از طبقه‌بندی جنگل تصادفی\*

گونه	صحت تولیدکننده	۰/۴۹	۰/۷۵	۰/۷۷	۰/۹۲	۰/۷=کاپا	۰/۷=کاپا	۰/۷۶	۰/۹۱	۰/۹۷	۰/۸۱	۰/۸۶	۰/۷
انجیلی													
سفیدپلت													
بلوط													
اوچا													
مجموع													
صحت کلی													
اوچا													
بلوط													
سفیدپلت													
انجیلی													

\* محور عمودی واقعیت زمینی و محور افقی طبقه‌بندی را نشان می‌دهد.

بلوط نسبت به درختان انجلی و اوچا می‌باشد (جدول ۴). گونه سفیدپلت دارای بالاترین صحت کاربر و گونه اوچا دارای بالاترین صحت تولیدکننده می‌باشد.

نتیجه شناسایی درختان با استفاده از تصاویر چندطیفی داده‌های چندطیفی تک زمانه با صحت بالای ۸۵ درصد قادر به شناسایی ۴ گونه درختی در منطقه مورد مطالعه بود. ماتریس خطای نشان‌دهنده تشخیص بالای درختان سفیدپلت و

جدول ۴. ماتریس خطای تصاویر چندطیفی سنجنده سکویا با استفاده از طبقه‌بندی جنگل تصادفی\*

گونه	صحت تولیدکننده	۰/۲۷	۰/۷۸	۰/۶۵	۰/۸۵=کاپا	۰/۷۵	۰/۹۲	۰/۷۱	۰/۹۴	۰/۹۲	۰/۷۸	۰/۷۸	۰/۷۸
انجیلی													
سفیدپلت													
بلوط													
اوچا													
مجموع													
صحت کلی													
اوچا													
بلوط													
سفیدپلت													
انجیلی													

\* محور عمودی واقعیت زمینی و محور افقی طبقه‌بندی را نشان می‌دهد.

است. مزایای چنین سری‌های زمانی برای شناسایی گونه‌ها بر اساس قابلیت تمایز طبقه‌بندی درختان از طریق تفاوت طیفی و تفاوت فنولوژی بین درختان بلوط، سفیدپلت، انجلی و اوچا است. تصاویر چند زمانه، با توجه به نشان دادن تغییر رنگ تاج درختان در فصول مختلف همراه با درصد بالای صحت تمایز درختان برای شناسایی آنها است، چرا که تمایز اختلافات طیفی در بین طبقات مشابه درختان با استفاده از یک تصویر تک‌زمانه، مشکل و با کاهش مقدار صحت همراه است (Zhang et al., 2019). در این تحقیق مشخصات اصلی فنولوژیکی ۴ گونه موجود با استفاده از سری زمانی به صورت کامل پوشش داده شد (درختان بلوط کهن‌سال با تاج گسترد و رنگ سبز مخلوط که در فصل پاییز متمایل به رنگ قوهای می‌شود. درختان اوچا دارای تاج کوچک‌تر که در هنگام خزان سایر درختان به بذر می‌نشینند و در موزاییک تصاویر کاملاً سبز مشاهده می‌شوند. برگ درختان انجلی که در فصل پاییز با رنگ متمایز نارنجی متمایل به قرمز خزان می‌کنند و در نهایت سفیدپلت که رنگ روشن تاج آن کاملاً در موزاییک تصاویر قابل مشاهده است).

## بحث و نتیجه‌گیری

پیشرفت فناوری با ارایه اطلاعات دقیق در سطح شناسایی تک‌درخت در جنگل، می‌تواند تحولی در جنگلداری دقیق ایجاد نماید. این پژوهش به این سوال پرداخت که چه زمان و چگونه باید از سیستم هوایی بدون سرنوشت استفاده شود تا بتوان به شکلی موثر گونه‌های درختی خزان‌کننده را از هم تشخیص داد. بنابراین یک سری زمانی از تصاویر پهپاد رنگی واقعی با وضوح بالا برای پوشش دادن فصل رشد جمع‌آوری شد تا بهترین زمان برای شناسایی و تمایز درختان با استفاده از یک پنجره زمانی تعیین شود. علاوه بر این، دو سیستم تصویربرداری مجهر به سنجنده رنگی واقعی و چندطیفی با هم مقایسه شد. ارتفاع پرواز، درصد همپوشانی و شرایط آب و هوازی و زمان پرواز در همه تصویربرداری‌ها یکسان در نظر گرفته شد.

همان گونه که نتایج جدول (۳) نشان داد، استفاده از سری زمانی تصاویر منجر به شناسایی درختان با صحت بالای ۸۶ درصد بود که قابل مقایسه با نتایج Lisein و همکاران (۲۰۱۵)

## شناسایی گونه‌های درختی با استفاده از سری زمانی تصاویر رنگی واقعی و تصاویر چندطیفی پهپاد/۹

تک‌زمانه چندطیفی (۸۵ درصد) قابل مقایسه با نتایج حاصل از سری زمانی تصاویر RGB (۸۶ درصد) است که با نتایج Ahmed و همکاران (۲۰۱۷) و Franklin و Ahmed (۲۰۱۷) نیز مطابقت دارد که در تحقیق خود با استفاده از سنجنده چندطیفی سکویا پاروت، طبقه‌بندی درختان را با صحت ۸۹ درصد انجام دادند. درحالی که با استفاده از سنجنده RGB میزان صحت ۱۰ تا ۱۵ درصد کاهش پیدا کرد. Ahmed و Franklin (۲۰۱۷) نیز طبقه‌بندی ۴ درخت خزان‌کننده را با استفاده از سنجنده چندطیفی، با صحت ۷۸ درصد برآورد کردند.

نتایج این تحقیق نشان داد تصاویر تک‌زمانه رنگی واقعی پهپاد ابزاری امیدوارکننده برای تعیین گونه‌های جنگلی با صحت طبقه‌بندی ۷۵ درصد در پنجره زمانی اواخر فروردین است. اگرچه نتایج مربوط به طبقه‌بندی سری زمانی با صحت ۸۶ درصد و تصاویر چندطیفی تک‌زمانه در خرداد ماه با صحت ۸۵ درصد، دقت بالاتری را در شناسایی گونه‌های جنگلی ارایه دادند، اما با توجه به هزینه سنجنده چندطیفی و عدم دسترسی آسان به آن و زمان بر بودن و مقرون به صرفه نبودن جمع‌آوری سری زمانی تصاویر رنگی واقعی، ارزش تصاویر تک‌زمانه بهینه پیش از پیش نمایان می‌شود. در نهایت استفاده از تصاویر پهپاد کم هزینه در کنار محدودیت‌های قانونی و نظارتی، محیط‌زیستی و سیستمی می‌تواند ابزاری امیدوارکننده در نقشه‌برداری خودکار درختان جهت نظارت بر تنوع زیستی و ارزیابی منابع جنگلی باشد.

### منابع

- Ahmed, O.S., Shemrock, A., Chabot, D., Dillon, C., Williams, G., Wasson, R. and Franklin, S.E. (2017) Hierarchical land cover and vegetation classification using multispectral data acquired from an unmanned aerial vehicle. International Journal of Remote Sensing, 38(8–10): 2037–2052. Retrieved from <https://doi.org/10.1080/01431161.2017.1294781/>
- Asner, G.P. (2001) Cloud cover in Landsat observations of the Brazilian Amazon. International Journal of Remote Sensing, 22(18): 3855–3862. Retrieved from <https://doi.org/10.1080/01431160010006926/>
- Ballanti, L., Blesius, L., Hines, E. and Kruse, B. (2016) Tree species classification using hyperspectral imagery: A comparison of two

بر اساس نتایج جدول (۲)، تصویربرداری در زمان سبز شدن برگ‌های درختان یعنی اواخر فروردین ماه با صحت کلی ۷۵ درصد مناسب‌ترین پنجره زمانی برای تمايز درختان بود که با نتایج Lisein و همکاران (۲۰۱۵) مطابقت دارد. اگرچه نتایج سری زمانی تصاویر پهپاد برای شناسایی درختان به دلیل نشان دادن تغییرات فنولوژیکی در فصول مختلف مانند تغییر رنگ تاج درختان دارای صحت کلی بالاتری می‌باشد، اما با توجه به مشکلات تصویربرداری با پهپاد (اخت مجوز پرواز، خطر سقوط پهپاد، هزینه‌های پرواز، از دست دادن زمان مناسب پرواز به دلیل ابری بودن، بارندگی و غیره)، اکثر موقع امکان تصویربرداری در یک دوره رویشی کامل وجود ندارد. تفاوت فنولوژی درختان جنگلی در اوایل بهار و اواخر پاییز حداکثر است. در واقع تفاوت‌های فنولوژیک بین گونه‌ها و تغییرات طیفی در کلاس‌های درختان نتیجه طبقه‌بندی را افزایش می‌دهد (Lisein et al., 2015).

در منطقه مورد مطالعه، در اوایل فصل رویش، تاج درختان سفیدپلت معمولاً دارای رنگ‌های روشن و منحصر به فرد است. درخت بلوط دارای رنگ تیره‌تر و دو گونه اوجا و انجلی دارای رنگ سبز روشن هستند. بنابراین با توجه به تفاوت‌های ذکر شده، عملکرد بسیار مطلوبی از نظر دقت طبقه‌بندی به خصوص در مورد شناسایی سفیدپلت مشاهده شد که می‌تواند با رنگ Kuzmin (تاج متفاوت آن از گونه‌های دیگر توجیه می‌شود et al., 2017; Rominger & Meyer, 2019; Sadeghi & Sohrabi, 2018). بیشترین خطأ در طبقه‌بندی تک‌درختان مربوط به درختان انجلی و اوجا بود. دو گونه درختی اوجا و انجلی دارای شباهت ظاهری از نظر رنگ و بافت هستند که می‌تواند باعث همپوشانی الگوی طیفی آنها شود. موارد دیگر مانند زاویه تابش خورشید، تاریخ و روز تصویربرداری نیز می‌تواند بر خطای طبقه‌بندی تاثیر گذارد (Ballanti et al., 2016). اما مهمترین دلیل شناسایی سایر درختان به عنوان گونه اوجا مربوط به عدم توازن در داده‌های ورودی و متعادل نبودن Nevalainen et al., 2017). زیرا بیشتر داده‌های ورودی را درختان اوجا تشکیل می‌داد که این نیز می‌تواند بر روی داده‌های تعلیمی و ارزیابی عملکرد تاثیر گذارد.

نتایج حاصل از شناسایی درختان با استفاده از تصویر

- <https://doi.org/10.5721/EuJRS20164914/>
- Lisein, J., Michez, A., Claessens, H. and Lejeune, P. (2015) Discrimination of deciduous tree species from time series of unmanned aerial system imagery. *PLoS ONE*, 10(11): 1–20. Retrieved from <https://doi.org/10.1371/journal.pone.0141006/>
- Miraki, M., Sohrabi, H., Fatehi, P. and Kneubuehler, M. (2020) Comparison of machine learning algorithms for broad leaf species classification using UAV-RGB images. *Journal of Geomatics Science And Technology*, 10(2): 1–10. Retrieved from <http://jgst.issge.ir/article-1-926-fa.html/>
- Nevalainen, O., Honkavaara, E., Tuominen, S., Viljanen, N., Hakala, T., Yu, X., Hyppä, J., Saari, H., Pölönen, I., Imai, N. and Tommaselli, A. (2017) Individual Tree Detection and Classification with UAV-Based Photogrammetric Point Clouds and Hyperspectral Imaging. *Remote Sensing*, 9(3): 185–185. Retrieved from <https://doi.org/10.3390/rs9030185/>
- Nex, F. and Remondino, F. (2014) UAV for 3D mapping applications: A review. *Applied Geomatics journal*, 6(1): 1–15. Springer Verlag. Retrieved from <https://doi.org/10.1007/s12518-013-0120-x/>
- Rominger, K. and Meyer, S. (2019) Application of UAV-based methodology for census of an endangered plant species in a fragile habitat. *Remote Sensing*, 11(6): 719–719. Retrieved from <https://doi.org/10.3390/rs11060719/>
- Sadeghi, S. and Sohrabi, H. (2018) Tree species discrimination using RGB vegetation indices derived from UAV images. *UAV Small Unmanned Aerial System for Environmental Research-6th Edition*, 1: 5–5.
- Tiberiu, P.B., Gheorghe, F.B. and Constantin, B. (2016) The use of drones in forestry. *Journal of Environmental Science and Engineering B*, 5(11): 557–562. Retrieved from <https://doi.org/10.17265/2162-5263/2016.11.007/>
- Tinkham, W.T. and Swayze, N.C. (2021) Influence of agisoft metashape parameters on UAS structure from motion individual tree detection from canopy height models. *Forests*, 12(2): 250–250. Retrieved from <https://doi.org/10.3390/F12020250/>
- Weil, G., Lensky, I., Resheff, Y., Levin, N., Weil, G., Lensky, I.M., Resheff, Y.S. and Levin, N. (2017) Optimizing the timing of unmanned aerial vehicle image acquisition for applied mapping of woody vegetation species using feature selection. *Remote Sensing*, 9(11): 1130. classifiers. *Remote Sensing*, 8(6): 445–445. Retrieved from <https://doi.org/10.3390/rs8060445/>
- Boyd, D.S. and Danson, F.M. (2005) Satellite remote sensing of forest resources: Three decades of research development. *Progress in Physical Geography: Earth and Environment*, 29(1): 1–26. Retrieved from <https://doi.org/10.1191/0309133305pp432ra/>
- Brovkina, O., Cienciala, E., Surový, P. and Janata, P. (2018) Unmanned aerial vehicles (UAV) for assessment of qualitative classification of Norway spruce in temperate forest stands. *Geo-Spatial Information Science*, 21(1): 12–20. Retrieved from <https://doi.org/10.1080/10095020.2017.1416994/>
- Esmkhani, A., Erfanifard, S.Y., Boloorani3, A.D. and Samany, N.N. (2022) Species identification of Pistacia and Amygdalus individuals using combination of UAV-based RGB imagery analysis and digital surface model. *Journal of Wood and Forest Science and Technology*, 29(3): 93–111. Retrieved from <https://doi.org/10.22069/JWFST.2022.20676.1986/>
- Ferreira, M.P., Féret, J.-B., Grau, E., Gastellu-Etchegorry, J.-P., do Amaral, C.H., Shimabukuro, Y.E. and de Souza Filho, C.R. (2018) Retrieving structural and chemical properties of individual tree crowns in a highly diverse tropical forest with 3D radiative transfer modeling and imaging spectroscopy. *Remote Sensing of Environment*, 211, 276–291. Retrieved from <https://doi.org/10.1016/J.RSE.2018.04.023/>
- Franklin, S.E. and Ahmed, O.S. (2017) Deciduous tree species classification using object-based analysis and machine learning with unmanned aerial vehicle multispectral data, 39(15–16): 5236–5245. Retrieved from <https://doi.org/10.1080/01431161.2017.1363442/>
- Hernandez-Santin, L., Rudge, M., Bartolo, R., Erskine, P., Hernandez-Santin, L., Rudge, M.L., Bartolo, R.E. and Erskine, P.D. (2019) Identifying species and monitoring understorey from UAS-Derived data: A literature review and future directions. *Drones*, 3(1): 9–9. Retrieved from <https://doi.org/10.3390/drones3010009/>
- Kuzmin, A., Korhonen, L., Manninen, T. and Maltamo, M. (2017) Automatic Segment-Level Tree Species Recognition Using High Resolution Aerial Winter Imagery. *European Journal of Remote Sensing*, 7254, 238–259. Retrieved from <https://doi.org/10.5721/EuJRS20177254/>

شناسایی گونه‌های درختی با استفاده از سری زمانی تصاویر دنگی واقعی و تصاویر چندطیفی پهیاد/۱۱

International Journal of Remote Sensing, 40(24): 9541–9555. Retrieved from <https://doi.org/10.1080/01431161.2019.1633702/> Retrieved from <https://doi.org/10.3390/rs9111130/> Zhang, M., Gong, P., Qi, S., Liu, C. and Xiong, T. (2019) Mapping bamboo with regional phenological characteristics derived from dense Landsat time series using Google Earth Engine.

## Identification of tree species using true color time series and drone multispectral images

Mojdeh Miraki<sup>1</sup>, Hormoz Sohrabi<sup>2\*</sup>

1) Ph.D. Graduated of Forest Management, Faculty of Natural Resources, Tarbiat Modares University, Tehran, Iran.  
2) Associate Professor of Department of Forestry, Faculty of Natural Resources, Tarbiat Modares University, Tehran, Iran.  
Corresponding Author Email Address: hsohrabi@modares.ac.ir

Date of Submission: 2023/09/28

Date of Acceptance: 2023/12/06

### Abstract

Accurate information about the tree composition of a forest is required for many forest monitoring and conservation purposes. In recent years, the use of modern remote sensing methods and techniques based on unmanned vehicles have been used to regularly update information in the forest. In this research, different data sources including multi-spectral images (Storm drone) and real color images (Phantom drone) with very high spatial resolution in the forest plains of Noor City located in Mazandaran province were used to identify tree species. Also, imaging was performed in a growing season to prepare a time series of UAV-RGB images and investigating the effect of tree crown phonological changes on the classification accuracy level. To classify and identify forest species, calculating indices based on true color images such as NRB and NGB, multispectral indices such as CIgreen and NDVI, raw bands, and random forest classification method were used. Based on single-time images, the images of the end of April with an overall accuracy of 75% provided the highest overall accuracy. The results related to time series images also identified trees with 86% accuracy. Also, species identification based on multispectral images obtained from the Sequoia sensor also provided 85% accuracy. The results showed that the single-time image with imaging at the right time using a drone equipped with an RGB sensor, compared to taking a time series and using drones equipped with multispectral sensors, has acceptable and less expensive results for tree recognition in the study area.

**Keywords:** Classification, Multispectral Images, Phenology Random forest algorithm, RGB Images.